

陝西省电机工程学会  
論文选集  
(内部資料)

陝西省电机工程学会編輯

1963

## 前　　言

陝西省电机工程学会是1963年正式成立的。几年来，在党的正确领导下，陝西地区的电机科学工作者在进行科学研究，开展学术活动等方面做了不少工作，取得一定成績，对促进科学技术的发展和社会主义建設事业起了积极的作用。为了总结科研成果，与其它地区的电机科学工作者交流經驗，互相学习，共同提高，进一步推动学术活动持续深入的开展。我会决定将1963年首届年会和各专业組在学术活动中提出的一部份論文汇編成冊，供同志們参考。由于我們对編輯工作尚无經驗，加之時間仓促，作者和編者水平有限，缺点錯錯一定不少，希請會員和讀者們批評指正。

在編印論文选集的过程中，陝西省科学技术协会給予多方面的指导和帮助，謹此致謝。

陝西省电机工程学会

一九六三年十二月

# 目 录

## 前 言

1. 35~220 千伏屋外配电裝置間隙距离  $A, B, C, D$  值研究 ..... 張平安、弋东方 1
2. 35~220 千伏屋外配电裝置軟导綫短路搖擺計算 ..... 張平安、弋东方 23
3. 导綫力学精确計算方法的探討  
    ——利用悬鏈綫平均应力計算彈性变形 ..... 連家驥 39
4. 西安地区接地試驗分析 ..... 赵 敏 47
5. 3~10 千伏保护旋轉电机用闊式避雷器的一些結構問題的探討 ..... 汪仁根 58
6. 利用通道相位差动保护中相位比較元件的构成方法 ..... 葛耀中 63
7. 簡易低阻抗繼电器 ..... 徐志綱 77
8. 平板式热双金属电器的温升特性的計算 ..... 方鴻发 86
9. 发电机不平衡負荷保护裝置研究报告 ..... 許祖培 97
10. 电容套管  $\tg \delta$  測試方法的研究 ..... 蔡国材、趙明魁 115
11. 极低轉速磁阻式单相同步电动机的性能分析 ..... 汪国梁 126
12. 用短路和分亨器代替高压断路器的簡化主結綫在水电站的应用 ..... 尹克宁 135
13. 400 千伏直流高压发生器的裝置和測量 ..... 唐昭华、伍曉清、曾达人 142
14. 电抗器电动力計算的若干問題 ..... 易启基 150
15. 過渡状态恢復电压的模拟 ——兩参数法和四参数法 ..... 叶德陰 162
16. 确定电力系統备用容量的方法 ..... 姜衍智 168

# 35—220千伏屋外配电裝置間隙距离 A、B、C、D值研究

張 平 安 戈 东 方

(水利电力部西北电力設計院)

## 前 言

由于報告問題牽涉面廣及我院水平、人力、時間的限制，本報告僅具有初步探討性質，雖經院內各有关專業人員討論，并提供意見，但錯誤仍在所難免，希予批評指正。

本報告研究的範圍是：

- 一、电压为 35、110 千伏、(220 千伏)。
- 二、配电裝置海拔高度在 1,000 米以下。
- 三、配电裝置处于非污秽地区。
- 四、正常的气象条件。

本報告編制過程中，承东北电力設計院、北京电力設計院提供寶貴意見，一機部高壓電瓷研究所、一機部高壓電器研究所提供資料和意見，西安交通大学高壓教研組給予指教，特致謝意。

## 第一节：A、B、C、D 值的定义

仅供作最小允許間隙例証的配电裝置图和出綫門型构架部份的平面图如图 1 所示。

### 一、A 值的定义：

A 值是屋外配电裝置布置各种間隔距离中的基本帶電距離。下列情况不应小于 A 值的要求：(文献 1)

- (一)不同相导体之間(帶電邊緣)的最小距离。如图 2-(5)。
- (二)帶電部份(邊緣)至接地部份間的最小距离。如图 2-(5)。
- (三)帶電部份至圍栏(包括遮栏和柵栏)上面，但其高度为 2.7 米以下时，帶電部份至圍栏的水平距离，如图 2-(2)，帶電部份在圍栏上面但其高度为 2.7 米以上时帶電部份至圍栏的垂直距离。如图 2-(2)。
- (四)兩垂直布置的回路之導電部份未設遮栏，下面回路检修上面回路不帶電时的垂直最小距离。如图 2-(4)。
- (五)兩水平布置的回路之導電部份，未設遮栏，兩回路同时进行停电检修时的回路間最小水平距离。如图 2-(1)。
- (六)在未設遮栏时隔离开关断开位置刀片对地部份距离如图 2-(3)。

## 二、 $B$ 值的定义：

下列情况应不小于  $B$  值的要求：

(一) 设备的导电部份或从设备的任何未接地部份至固定的栅栏或围墙的距离。如图 2-(2)。

(二) 可移动设备(运输)与无遮栏导电部份间距离。如图 2-(6)。

(三) 不同回路之导体未设遮栏时的垂直距离(上面回路带电，下面回路进行检修维护)。如图 2-(4)。

(四) 未设遮栏时隔离开关断开位置刀片至载流部份距离。如图 2-(3)。

## 三、 $C$ 值的定义：

无遮栏的裸导体距地面的高度不应小于  $C$  值的要求，如图 2-(7) 及图 2-(8)。

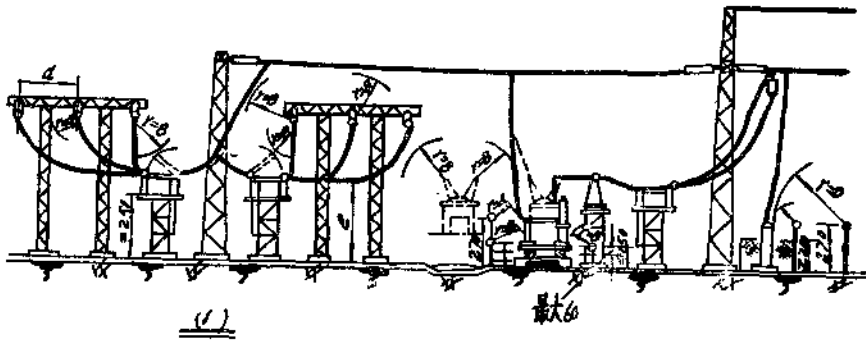
## 四、 $D$ 值的定义：

下列情况不应小于  $D$  值的要求：

(一) 不同回路之导体未设遮栏时的水平距离(一回带电一回进行检修维护)。如图 2-(1) 及图 2-(4)。

(二) 导电部份与外围墙顶部间的距离。如图 2-(9)。

(三) 导电部份至屋内配电装置的房屋，操作盘室和变压器房屋间的水平距离。如图 2-(7)。



图一 屋外配电装置的最小  
允许距离

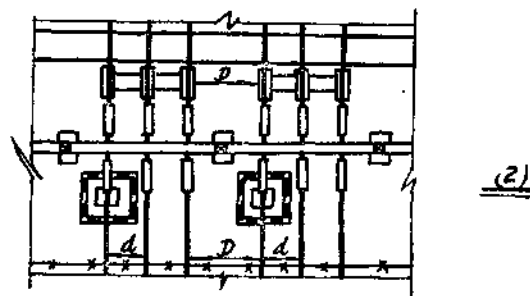
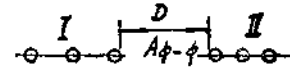


图 1

(1)

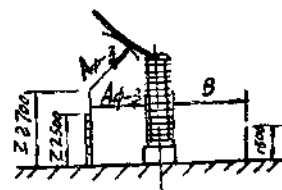
不同回路之导电部分未设遮拦时的水平距离。

两回路同时停电检修时用  $A_{\phi-\phi}$  需要一回路带电另一回路进行检修时用



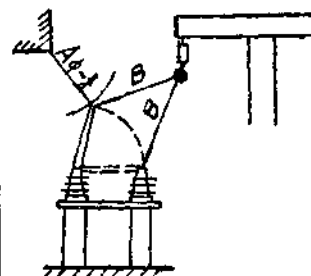
(2)

设备的导电部分及设备的未接地部分与内遮栏之间的距离



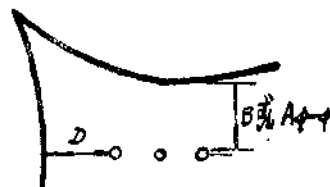
(3)

在未设遮拦时隔离开关断开位置  
刀片对载流导体垂直距离  
(B) 和对地距离 ( $A_{\phi-\phi}$ )



(4)

不同回路之导电部分在佈置高度不同时的水平距离(D)及垂直距离。  
下面回路检修、上面回路不带电时  
用  $A_{\phi-\phi}$  带电时用 B



图二 各种带电距离的例图

<p>(5) 使用硬母线时各相导电部分间及其与接地部分间的最小距离(净空)</p>	
<p>(6) 从无遮拦的导电部分至被该设备外殼间的最小距离</p>	
<p>(7) 导电部件与建筑物之间的水平距离D和垂直距离C</p>	
<p>(8) 未设遮拦时高压设备绝缘子边缘及导电部分距地面的最小距离</p>	
<p>(9) 导电部分与外围牆顶部间之距离</p>	

图 2

## 第二节 A 值的确定

### 一、空气间隙的绝缘特性：

如前所述，A值系指不同相的带电导体间、设备及导体的带电部分至接地部份间最小允许的空气间隙。

空气间隙在耐受不同类型电压时，具有不同的电气强度。电压大体可分为：

(一) 大气过电压。一般作用时间在几十微秒以内。

(二)內部过电压。从作用时间(0.001~0.1)秒的操作过电压到作用时间达0.5~1.0秒的动态过电压。

(三)长期运行电压。作用时间为几十年。

一般地說，对于320千伏以下的配电装置，大气过电压起主要作用。

空气间隙在冲击波作用下，当于放电时间較短时，絕緣强度迅速增大，即冲击系数增大。但在长间隙(一米以上)，据苏联直流研究所(НИИПТ)研究結果，內过电压作用时间取0.01秒，其电气强度比工频值并不增大，即冲击系数 $\beta=1$ 。

空气间隙的干放电及湿放电电压实际上近于相同。

在工作频率下和在冲击波下，空气间隙的放电电压視电极和波的极性而言。在棒—板间隙中，棒为正极性时，平均击穿电场强度大約只有7.5千伏/厘米，而棒为负极性时，击穿电压却大的多，平均击穿强度达20千伏/厘米。即在同样的距离下，负极性的棒间隙需要有更高的电压才能击穿。

具有极端不对称电场的棒—板间隙的击穿电压和棒—棒间隙的击穿电压有所差別。电极形状不同，影响着电极間电场分布的均匀程度，均匀的电场将有較高的放电电压，这对于工频电压來說，显得更为突出。间隙愈长，差別愈甚。在配电装置中，导线之間，导线与杆塔之間以及其他带电部份对接地部份之間的放电电压可认为是在棒—棒和棒—板兩种对称和不对称电极間的放电电压的范围内。美国在实验室的研究結果表明，由于变电站中电场实际分布的影响，其放电电压将比棒—棒间隙的放电电压低12%左右。

空气间隙在工频电压及冲击波作用下的放电特性，各国都作了很多試驗，我国沈阳变压器厂变压器研究室在1959年亦做了放电試驗，試驗結果表明，与苏联、美国所得出的結果相近(文献28)。

在各国的試驗中，其中最完善的应属全苏电工研究所(ВЭИ)和НИИПТ的試驗。在棒—棒的情况下，最大距离做到4米；在棒—板时达9米。放电电压的数值是取20次試驗的平均值。他們并且将所得結果与美国的試驗数据相比較，二者基本上是相符的(文献29)。

我們选择 $A'$ 值所使用的曲線为 ВЭИ 和 НИИПТ 的試驗結果，如图3和图4所示。

## 二、据根大气过电压决定基本带电距离( $A'$ )

(一)用避雷器残压决定 $A'$ ：

1. 相对地的距离 $A'_{\Phi-3}$ ：

相对地的距离 $A'_{\Phi-3}$ ，应当具有和配电装置相当的冲击絕緣水平，应当受到大气过电压的主要保护设备——阀型避雷器的保护，亦即該间隙的击穿电压应由避雷器的保护水平(一般为避雷器的残压)来确定。

苏联用来选择相对地间隙的公式如下：(文献2)

$$U_{\text{冲}} = \frac{1.1 \times U_{\text{残} \cdot 5\text{KA}} + 15}{K} \quad (1)$$

式中： $U_{\text{冲}}$ ——計算的冲击試驗电压(千伏，最大)。

$U_{\text{残} \cdot 5\text{KA}}$ ——相当于該极电压避雷器，在通过5千安冲击电流时的残压。

$K$ ——考虑海拔高度的系数，(主要为气压和湿度对絕緣的影响)本文海拔取1000

米以下， $K$ 值取0.84。

1.1——考虑到实际雷电流强度可能比实验时严重及设备到避雷器有一定距离的影响系数。

### 15——裕度。

苏联设计 400 千伏变电所时，根据(1)式求得之  $U_{\text{冲}}$  在查得放电间隙之后为了安全又增加了 25% 裕度。

我们认为苏联在 400 千伏变电所设计中因为没有实际运行经验而采用了较大的安全裕度是适当的。但对于 220 千伏以下的配电装置，在已经有了相当丰富的运行经验的情况下仍然沿用 25% 的数字似乎过大。

我们建议在利用  $U_{\text{冲}}$  查上节推荐的空气间隙冲击试验电压曲线所求得的间隙取整数后即可作为推荐值。

据公式(1)计算的  $U_{\text{冲}}$  及依其查上节曲线[全苏电工研究所(BOR)采用的冲击试验电压与间隙距离的关系曲线(文献 2)]所得之  $A'_{\Phi-\Phi}$  值如表一。

按我国目前的设备及避雷器制造水平计算中采用了过电压保护规程(文献 3)所介绍的数据，此时，避雷器的残压是按照流经避雷器电流为 3 千安而决定的。据 2377 个避雷器年的 15099 次的测定结果可知，通过阀型避雷器的雷电流为 3 千安的或然率还是不大的，大约 25~30 年一次(文献 4)，这说明采用  $U_{\text{残} \cdot 3KA}$  计算  $U_{\text{冲}}$  是合适的。(一机部高压电瓷研究所计划 64 年实施的国产阀型避雷器技术数据中已列入当雷电流为 5KA 时之避雷器残压数据，待有关部门批准后即可应用)

### 2. 相对相的距离 $A'_{\Phi-\Phi}$ :

苏联在设计 400/500 千伏变电所时，对于两相邻回路母线，除考虑由大气过电压所决定的冲击保证值之外，还考虑了同时在另一相上出现反极性的最大工作电压。我国在设计 330 千伏变电所时，也采用了这一计算原则。即：

$$U'_{\text{冲}} = U_{\text{冲}} + \frac{\sqrt{2} U_{\Phi}}{K} \quad (2)$$

式中：  $U_{\Phi}$ ——最高运行相电压，(千伏有效值)

$K$ —— $K=0.9$  考虑运行中大气条件不同的系数。在海拔 1000 米以下时我们推荐  $K$  取 0.84。

对于 220 千伏以下的配电装置，根据我国常用的各级电压典型布置，35 千伏系统耦合系数最小为 0.24；110 千伏系统耦合系数最小为 0.22；220 千伏系统耦合系数最小为 0.17。经过考虑耦合影响，并利用公式(2)进行的相间  $U_{\text{冲}}$  计算如表一。

据此我们认为：

35~220 千伏系统利用上述方法求得之  $U_{\text{冲}}$  查棒—棒间隙曲线(上节推荐的对称电极曲线)乘以 1.1 系数，这是因为考虑到相间闪络将导致比相对地闪络更为严重的后果。

所求得之  $A'_{\Phi-\Phi}$  值如表一。表中还附列了根据抚顺电瓷厂和西安电瓷厂近年来生产的磁吹避雷器的技术条件求得之  $A'_{\Phi-3}$  和  $A'_{\Phi-\Phi}$  值。

# 根据避雷器残压决定的 $A'$ 值

表一

额定电压 (千伏)	35				60				110(直接接地系统)			
	40.5				69				126			
项 目	$U_{\text{残}}$	$U_{\text{冲}}$	$A'_{\Phi-\phi}$	$A'_{\Phi-\phi}$	$U_{\text{残}}$	$U_{\text{冲}}$	$A'_{\Phi-\phi}$	$A'_{\Phi-\phi}$	$U_{\text{残}}$	$U_{\text{冲}}$	$A'_{\Phi-\phi}$	$A'_{\Phi-\phi}$
	千伏最大	厘 米	千伏最大	厘 米	千伏最大	厘 米	千伏最大	厘 米	千伏最大	厘 米	千伏最大	厘 米
PBC	130 (188)	34	35.2		221 (308)	308	58	63.8	324 (470)	443	86 (470)	93.5
MPB									274 (396)	369	70 (396)	79.2
额定电压 (千伏)	110(消弧线圈接地)				220				备 注			
系统最高电压 (千伏)	126				252							
项 目	$U_{\text{残}}$	$U_{\text{冲}}$	$A'_{\Phi-\phi}$	$A'_{\Phi-\phi}$	$U_{\text{残}}$	$U_{\text{冲}}$	$A'_{\Phi-\phi}$	$A'_{\Phi-\phi}$				
	千伏最大	厘 米	千伏最大	厘 米	千伏最大	厘 米	千伏最大	厘 米				
PBC	416 (676.3)	562	109	138.6	648 (963)	868	169	200				
MPB					545 (825)	730	142	170.5	文献 5			

注：括弧内的数值为根据(2)式并考虑耦合后的计算结果。

## (二)用其他方法选择 $A'$ ：

由于所采用的保护设备的性能，气象条件，海拔高度和电力系统的情况不同，各国所采用的计算方法和标准亦各不相同。

本节所引用的一些方法和数据，主要是为和按(1)式所决定之  $A'$  值比较，以资参考。

美国在决定相对地  $A'_{\Phi-\phi}$  冲击试验电压的公式如下(文献 2)

$$U_{\text{冲}} = K(U_{\text{残}} + 40) \quad (\text{千伏} \cdot \text{最大值}) \quad (3)$$

式中：  $K$ ——( $K=1.2$ )系考虑了下列因素：(文献 6)

- a · 运行中的雷电流波形可能比实验时所用的波形严重；
- b · 避雷器残压的分散性；
- c · 积累效应；
- d · 被保护设备与避雷器有一定的距离。

根据(3)式查得间隙后，考虑到耐压及击穿的间隔及实际设备电场分布与实验之差别，又乘以 1.1 及 1.12 的系数。

在决定相对相的距离  $A'_{\Phi-\phi}$  时，其原则是：允许对地短路而不允许相间短路，因此相

間距離系按同一电压等級的絕緣子放电电压求得，后乘以 1.12 的系数。

1956年国际电工委员会(IEC)对額定电压 1~420 千伏交流設備的絕緣配合提出的建議草案中規定(文献 7)。

$$U_{\text{冲}} = 1.2 U_{\text{残}}$$

式中：1.2——絕緣配合系数。

日本在 115~287 千伏系統中， $U_{\text{冲}}$  計算公式 和 IEC 公式相同唯絕緣配合系数在 1.24~1.28 范圍內(文献 7)。

上述的各种考慮方法和所得的結果，和由(1)式所決定的数值基本上是一致的。

变电所內各种設備(包括空气間隙)均受避雷器的保护，因此，他們的絕緣应当具有同样的水平。从这个觀点出发，我們又据各方面的標準中所規定的試驗电压查間隙曲綫，与由(1)式所得值进行比較。

1. 进行的方法是：

- (1) 根据標準中的变压器冲击試驗电压查 ВДИ 棒—板間隙曲綫求得  $A'_{\Phi-\phi_3}$ ；
- (2) 根据標準中的变压器冲击試驗电压查 ВЭИ 棒—棒間隙曲綫后，乘以 1.1 的系数，求得  $A'_{\Phi-\Phi}$ 。

2. 采用的标准是：

(1) 我国 59 年一机部批准的电工专业標準电(D)-33-59(草案試行)。見附件一。  
全苏標準 ГОСТ-1516-60(見附件一)。該標準是在 20 年來的制造，运行經驗的基础上，对 ГОСТ-1516-42 的修訂，第一机械工业部变压器研究所 62 年完全以 ГОСТ-1516-60 为蓝本，結合我国的电压等級划分情况和电力系統运行情况，提出了新的“变压器、高压电器、套管和絕緣子电气强度試驗标准及試驗方法”(草案，待批)，并推荐为电(D)-33-59 的修定本。

和(D)-33-59 比較，冲击試驗电压的数字基本相同。兩种標準冲击絕緣水平均指耐受电压，該標準草案，一机部和水利电力部正在会审中。

(2) 国际电工委员会(IEC)1960 年推荐的絕緣配合標準。(見附件一)，所推荐的絕緣水平系指所能承受的电压，即为其冲击耐压水平。(文献 27)

3. 得到的  $A'_{\Phi-\phi_3}$  和  $A'_{\Phi-\Phi}$  結果如表二所示。

根据設備試驗电压標準求得的  $A'$  值

表二

額定电压 (千伏)	35				60				110(直接接地系統)			
	40.5 (38)				69				125 (123)			
	U <sub>残</sub>	U <sub>冲</sub>	A' <sub>Φ-φ</sub>	A' <sub>Φ-Φ</sub>	U <sub>残</sub>	U <sub>冲</sub>	A' <sub>Φ-φ_3</sub>	A' <sub>Φ-Φ</sub>	U <sub>残</sub>	U <sub>冲</sub>	A' <sub>Φ-φ_3</sub>	A' <sub>Φ-Φ</sub>
項 目	千伏最大	厘 米	千伏最大	厘 米	千伏最大	厘 米	千伏最大	厘 米	千伏最大	厘 米	千伏最大	厘 米
国家标准 (D-33-59)		185	32	34		310	58	60.5		450	88	93
国际电工委员会標準 (IEC-1960)		200	36	36.3						450	86	94.6

額定电压 (千伏)	110(消弧线圈接地)				220				备注	
	126 (123)				252 (245)					
	U <sub>残</sub>	U <sub>冲</sub>	A' <sub>Φ-3</sub>	A' <sub>Φ-Φ</sub>	U <sub>残</sub>	U <sub>冲</sub>	A' <sub>Φ-3</sub>	A' <sub>Φ-Φ</sub>		
项 目	千伏最大	厘 米	千伏最大	厘 米	千伏最大	厘 米	A' <sub>Φ-3</sub>	A' <sub>Φ-Φ</sub>		
国家标准 (D-33-59)					900	175	208			
国际电工委员会 标准 (IEC-1960)	550	106	136.5		900	175	208			

注：最高电压栏内有括号者为 IEC-1960 中之系统最高电压。

### 三、根据内部过电压决定基本带电距离( $A''$ )：

根据内部过电压决定的基本带电距离  $A''$ ，在校验变电所的相对地和相对相的距离时，由于实际采用的气象条件和大气过电压时采用的气象条件不同，并且考虑到短路时，电磁力对导线摆角的影响等因素，有时  $A''$  也会起着控制作用。

#### (一) 相对地的 $A''_{Φ-3}$ ：

苏联过去在决定工频试验电压时，都是根据内部过电压的倍数来进行的，唯所考虑之系数有所不同，这方面，苏联直流研究所(НИИПТ)在 59 年研究的结果，具有相当的可靠性(文献 8)。他们提出在选择相对地的空气绝缘时的计算电压为：

$$U_{工} = \frac{\sqrt{2} \cdot K \cdot U_x}{\sqrt{3} \cdot K_1 \cdot K_2 \cdot 0.9 \cdot \beta} \text{ (千伏·最大值)} \quad (4)$$

式中：  $U_x$ ——最高运行线电压(千伏·有效值)

$K$ ——过电压倍数

0.9——平均放电电压与耐受电压的比值。

$K_1, K_2$ ——考虑海拔高度对气压和湿度影响的系数，对 1000 米， $K_1 \cdot K_2 = 0.84$

$\beta$ ——内部过电压下的冲击系数，根据直流研究所的研究结果，长间隙  $\beta = 1$ ；35~220 千伏的短间隙，取  $\beta = 1.1$ 。

对于变电所，尚再增加 5% 的裕度，因此，可简化为：

$$U_x = 1.06 K \cdot U_x \text{ (千伏最大)} \quad (5)$$

1959 年 11 月水利电力部在北京召开绝缘配合座谈会时，所确定的计算工频试验电压的公式，基本上和上述公式相同(文献 7)。

据公式(5)计算的  $U_x$  及依其查 B9I 采用的工频放电电压与间隙距离的关系曲线(文献 7)所得之  $A''_{Φ-3}$  值如表三。

计算中，过电压倍数  $K$ ，对 35~60 千伏及中性点不直接接地的 110 千伏系统，取  $K=4$ ；对 110~220 千伏中性点直接接地的系统，取  $K=3$ (文献 3)，苏联对于 35 千伏~220 千伏相对地过电压倍数  $K$ ，63 年作了新的规定，其数值为：

$$35 \text{ 千伏(非直接接地系统)} K=3.8$$

110 千伏(直接接地系統)  $K=3.2$

154~220 千伏(直接接地系統)  $K=3$ (文献30)。

## (二) 相对相的間隙 $A''_{\Phi-\Phi}$ :

由于过去对相間內过电压的研究不多，因而，对于如何以内部过电压来选择相对相的間隙，各个国家之間，甚至一个国家的各个部門之間尚存在着很大的分歧。爭論的焦点在于如何选用相間过电压倍数。

### 1. 苏联过去的一些做法：

1958年苏联火電設計院在設計330和400千伏变电所时，按一相对地有  $KU_{\Phi}$  过电压，另一相出現反极性工作电压考慮，公式为：(文献2)

$$U_{\text{工}} = (K+1) \cdot 1.21 \cdot U_{\Phi} (\text{千伏} \cdot \text{有效值}) \quad (6)$$

式中：  $K$ ——过电压倍数。

$U_{\Phi}$ ——最大工作相电压

1959年 НИИПТ 提出在选择相間的空气絕緣时計算电压的公式为：(文献8)

$$U_{\text{工}} = 1.83 KU_{\pi} (\text{千伏} \cdot \text{最大值}) \quad (7)$$

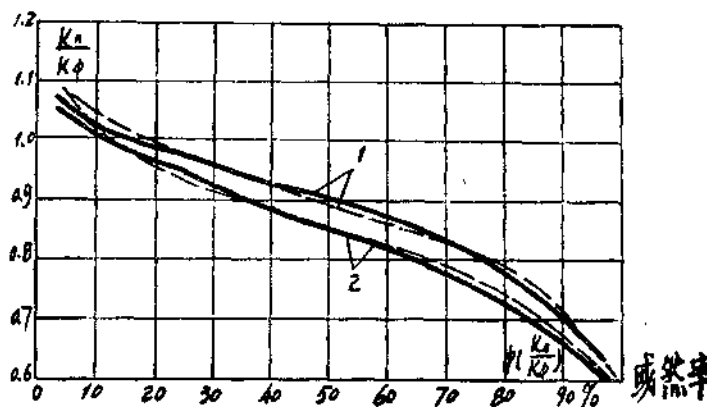
式中：  $K$ ——过电压倍数

$U_{\pi}$ ——最大工作綫电压；(千伏·有效值)

1961年苏联直流研究所 Д.Е.АРТЛМЬЛЬВ 及 С.С.ПУР 在400千伏 伏尔加水电站——莫斯科綫路上进行了实测，并在拉脫維亚的110千伏电网和列宁格勒35千伏 330~500千伏系統作模拟試驗，据124个試驗数据繪成相間過电压与相对地過电压倍数分布曲線如图5。并得出結論为：在330和500千伏电网中，相間絕緣(包括三相变压器及变电所)，应按綫間過电压倍数(对綫电压之比)与相对地過电压倍数(对相电压之比)相同来选择，或即取

$$K_{\pi} = \sqrt{3} K_{\Phi},$$

此时，相間閃絡的或然率将略低于相对地閃絡的或然率。(文献9)。



图五 相間過电压与相对地過电压倍数

關係曲線

—— 線路末端    - - - 供電系統的母線上

1, — 冲击保数  $K_{\pi\phi} > 1.4$     2, —  $K_{\pi\phi} > 1.6$

同年，苏联火電設計院認為：220千伏及以下變電所的相間距離與相對地距離相同。由於對稱電極工頻強度比相對地高20%左右，運行經驗證明完全保證了三相變壓器及其他設備的安全運行，從未觀察到相間閃絡。在設計330和400~500千伏輸電系統時，採用 $A_{\Phi-\Phi}$ 比 $A_{\Phi-\delta}$ 大10%的差額，此外並考慮相間間隙的工頻強度比相對地高35%以上，這就保證了相間絕緣比相對地間有45%左右的裕度。總之，他們引用了實際運行經驗及其他各國的標準和經驗，認為直流研究所測得的數字是偏高的。（文獻10）

1962年，ВНИИЭ及НИИПТ對中性點接地的110~220千伏內過電壓及相間過電壓進行了廣泛的研究，研究結果指出：相間過電壓與相對地過電壓之比，隨相對地過電壓的絕對倍數增加而減少，對於絕緣危險的過電壓( $K_{\Phi-\delta}$ 大於2.4)，相間的過電壓或然率在10%情況下，只為相對地過電壓倍數的0.8。見圖6之曲線（文獻11）。該文獻接着指出：在設計中，當內過電壓倍數大於2.4時，實際上相對相及相對地採用同樣的距離，能保證必要的絕緣配合。這是由於相間均勻間隙比相對地不均勻間隙有較大的放電電壓。

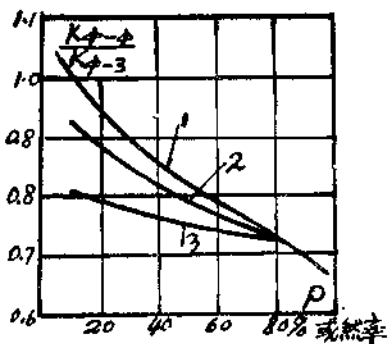


图6 相間過電壓與相對地過電壓倍數的關係曲線

1—相對地過電壓倍數  $K_{\Phi-\delta} \geq 1.8$

2—相對地過電壓倍數  $K_{\Phi-\delta} \geq 2.0$

3—相對地過電壓倍數  $K_{\Phi-\delta} \geq 2.4$

## 2. 美國及其他國家的作法：

在美國的設計實踐中，由於相間過電壓缺乏實測數據，他們是按“直觀的和合理的觀念”來估計的。他們認為：相間過電壓在考慮另一相出現反極性工頻電壓時，最大為 $4.5U_{\Phi}$ 。而實際多采用 $4U_{\Phi}$ 。（相對地的過電壓取 $2.75U_{\Phi}$ ）。在計算中，並採用電極形狀校正系數1.12（文獻7）。

澳大利亞的作法實際上是沿用美國的做法，他們所得到的 $A''_{\Phi-\Phi}$ 比 $A''_{\Phi-\delta}$ 大1.31倍（文獻12）。

## 3. 我國的作法：

我國61年在設計330千伏變電所時，考慮了直流研究所的研究意見，火電設計院實踐經驗和蘇聯對這一問題的討論情況，同時，也考慮了我國220千伏變電所運行經驗，曾提出了兩個相間過電壓的計算方案：

$$\text{方案 I: } U_{\text{工}} = \sqrt{3} KU_{\Phi} (\text{千伏·有效值})$$

$$\text{方案 II: } U_{\text{工}} = 1.6 KU_{\Phi} (\text{千伏·有效值})$$

並進行了比較計算，經各方面討論，為保證安全採用了第一方案（文獻7）。

## 4. 本文采用的方法：

我們認為，對於35~220千伏系統中，應當特別對蘇聯ВНИИЭ及НИИПТ在62年的研究成果給以重視。所以，我們採用下式進行計算：

$$U_{\text{工}} = 1.4 KU_{\Phi} (\text{千伏·有效值}) = 1.14 KU_{\text{a}} (\text{千伏·最大值}) \quad (8)$$

这是因为：

(1) 系统电压较低，过电压倍数较高，它们大于 2.4 倍相电压，从图 6 中可以看出，则相间过电压将更低。

(2) 35~220 千伏，我国有长期运行经验。

(3) 由于对称电极的电场分布均匀，比相对地的工频强度高，即使采用同样的间隙，仍有一定裕度。此裕度随电压的增高而增大。利用(8)式求得之  $A''_{\Phi-\Phi}$  如表三所示。表中还附列了 AIEE 及 P.L.Bellaschi 的数据，以资参考。(文献 7 )

从表中看出，220 千伏的  $A''_{\Phi-\Phi}$  比  $A''_{\Phi-\phi}$  虽小，但其放电电压仍较非对称电极有 10~15% 的裕度。

必须说明，鉴于内部过电压的复杂性，目前精确地确定  $A''_{\Phi-\phi}$  和  $A''_{\Phi-\Phi}$  值尚缺乏充分的试验资料和理论根据，例如：系统容量、网络结线、运行方式对过电压倍数的影响，变电所和线路过电压倍数的差别，以及空气间隙在内部过电压波形的作用下，冲击系数  $\beta$  的数值等等。所以，我们所介绍和推荐的  $A''_{\Phi-\phi}$  和  $A''_{\Phi-\Phi}$  只能是初步的，我们认为在没有充分试验数据来验证决定  $A''_{\Phi-\phi}$  和  $A''_{\Phi-\Phi}$  值的正确性时应当重视现有运行经验，因此在校核变电所架构对地距离时采用部颁过电压保护规程中之  $A''_{\Phi-\phi}$  和  $A''_{\Phi-\Phi}$  也是适当的。

由 内 部 过 电 压 所 决 定 的  $A''$  值

表三

额定电压(千伏)		35				60				110(直接接地)			
系统最高电压(千伏)		40.5				69				126			
项 目	相对地	相对相	$A''_{\Phi-\phi}$	$A''_{\Phi-\Phi}$	相对地	相对相	$A''_{\Phi-\phi}$	$A''_{\Phi-\Phi}$	相对地	相对相	$A''_{\Phi-\phi}$	$A''_{\Phi-\Phi}$	
	U 工	U 工	千伏	厘米	U 工	U 工	千伏	厘米	U 工	U 工	千伏	厘米	
千伏 最大	千伏 最大	厘 米			千伏 最大	千伏 最大	厘 米		千伏 最大	千伏 最大	厘 米		
计算数据	174	184	31.5	32	293	314	56	58	402	432	78	80	
AIEE 数据													
P.L Bellaschi													
额定电压(千伏)		110(消弧线圈接地)				220				252			
系统最高电压(千伏)		126				252				备 注			
项 目	相对地	相对相	$A''_{\Phi-\phi}$	$A'_{\Phi-\Phi}$	相对地	相对相	$A''_{\Phi-\phi}$	$A''_{\Phi-\Phi}$	相对地	相对相	$A''_{\Phi-\phi}$	$A''_{\Phi-\Phi}$	
	U 工	U 工	千伏	厘米	U 工	U 工	千伏	厘米	U 工	U 工	千伏	厘米	
千伏 最大	千伏 最大	厘 米			千伏 最大	千伏 最大	厘 米		千伏 最大	千伏 最大	厘 米		
计算数据	536	575	107.5	102	800	864	166	151					
AIEE 数据							165~180	203~226					
P.L Bellaschi							170	234					

#### 四、 $A$ 值的推荐和小结：

从二、三两节的计算分析结果提出了基本带电距离  $A$  的推荐值如表四所示，同时在表中又收集了部颁规程，苏联火电设计院等七种标准以资对比。

(一) 推荐值中除包括 220 千伏部份供讨论参考外考虑到我国东北地区尚有 60 千伏系统以及部颁规程中也有 60 千伏电压级我们对这个电压的  $A$  值也作了推荐。又考虑到四川地区有 110 千伏中性点经消弧线圈接地系统，东北和华北地区也有可能出现这种电力系统，我们对这种接地系统的 110 千伏电压级  $A$  值也作了推荐。

(二) 计算结果表明在 220 千伏以下变电所中基本带电距离  $A$  值(相对相和相对地)都决定于大气过电压，而且各国决定  $A$  值的方法和结果也大体一致。

本文推荐及各国采用的  $A$  值

表四

额定电压(千伏)	35		60		110 (直接接地)		110(消弧线圈 接地)		220		备注	
	系统最高电压 (千伏)		40.5		69		126		126			
	$A_{\Phi-\phi}$											
项 目	厘	米	厘	米	厘	米	厘	米	厘	米	直 米	
本文推荐	38	40	60	65	90	100	115	140	180	200		
部颁规程	40	40	60	60	100	100			200	200		
苏联火电设计院	40	44			90	100			180	200	见文献15	
国际电工委员会 (I.E.C.)	32		(72.5) 63		92		115		196		见文献16	
美国标准 (AIEE.54)	33	46	62	79	106	134			165	203		
日本标准			65	85								
英国标准	(33) 40.6	(33) 45.7	(66) 76.2	(66) 83.7	99	135	122	160	191	274	见文献17	
加拿大标准			(69) 38	(69) 107	(138) 92	(138) 214			(230) 152	(230) 305	见文献18	

注：括弧内的数字为所取该国家的额定电压级数字，单位为千伏。

(三) 由于以下几点原因，本文推荐的  $A$  值分  $A_{\Phi-\phi}$  和  $A_{\Phi-\phi}$ 。

1. 计算结果表明  $A_{\Phi-\phi}$  和  $A_{\Phi-\phi}$  差别较大。
2.  $B, C, D$  值都和  $A_{\Phi-\phi}$  有关全部采用  $A_{\Phi-\phi}$  值显然不够合理。
3. 世界各国  $A_{\Phi-\phi}$  和  $A_{\Phi-\phi}$  均分别列出，我国部颁高压配电装置规程中  $A_{\Phi-\phi}$  和  $A_{\Phi-\phi}$  不分，这主要是根据苏联五三年《电气设备安装规程》制訂的而 60 年苏联火电设计院也建议  $A_{\Phi-\phi}$  和  $A_{\Phi-\phi}$  分开。

4. 尤其是 110~220 千伏均为直接接地系统，有一定运行经验。

5. 另一建议 35 千伏多为非直接接地系统，间隙距离较小， $A$  可以合并。

(四)考虑到变电所中要接大气过电压，操作过电压及正常工作电压条件，校验母线，出线及引线等情况我们建议  $A'$ ,  $A''$  和  $A$  值分别列出见表五。

同时我们也考虑了一些校验变电架构用的特殊  $A$  值：如 110 千伏出线门型架上按装避雷针，此时导体对地空气间隙应由雷电流流经门型构架所产生逆闪络电压来决定，经初步估算在保证门型架接地冲击电阻不大于 3 欧姆的情况下由逆闪电压所决定的  $A'_{\Phi-3}$  和表五中的  $A'_{\Phi-3}$  很接近，所以未作另外推荐，35 千伏系统一般系中性点非直接接地，满足较小的冲击接地电阻有困难，所以避雷针都不装在出线门型架上。

对于一些特殊运行方式下的  $A$  值，例如出线隔离开关打开时，隔离开关外侧一段母线间隙和管型避雷器的冲击放电电压作配合，计算结果表明：

35 千伏  $A'_{\Phi-\Phi}$  可取 50 厘米

$A'_{\Phi-3}$  可取 48 厘米

110 千伏  $A'_{\Phi-\Phi}$  可取 110 厘米

$A'_{\Phi-3}$  可取 105 厘米

对于两相短路时的  $A''$  值，应由两相短路时的操作过电压倍数决定，此时的  $A''$  值在校验变电所相间距离有很大参考价值。但在缺乏两相短路时，操作过电压倍数的理论分析和实测值的情况下，采用本文据最大操作过电压倍数所推荐的  $A''$  值，将是偏于安全的。

本文推荐的  $A$  值汇总表

表五

额定电压(千伏)	35		60		110 (直接接地)		110(消弧线圈 接地)		220		备注	
	系统最高电压 (千伏)	40.5		69		126		126		252		
		$A_{\Phi-3}$	$A_{\Phi-\Phi}$	$A'_{\Phi-3}$	$A'_{\Phi-\Phi}$	$A_{\Phi-3}$	$A_{\Phi-\Phi}$	$A'_{\Phi-3}$	$A'_{\Phi-\Phi}$	$A_{\Phi-3}$	$A_{\Phi-\Phi}$	
按大气过电压( $A'$ )	38	40	60	65	90	100	115	140	180	200		
按操作过电压( $A''$ )	34	36	58	60	78	80	115	110	170	170		
按最大允许工作电压 ( $A$ 额定)	10	10	15	15	25	25	30	30	55	55		

注：1. 操作过电压  $A$  值系按表三取整数推荐，其中 110 千伏(消弧线圈接地)及 220 千伏  $A_{\Phi-3}$  和  $A_{\Phi-\Phi}$  取相同值。

2. 最大工作电压  $A$  值中考虑系统最大允许工作电压比额定电压大 10%，查出间隙后留一定裕度。

(五)在  $A$  值推荐值中均根据计算数据取整数，在取数中考虑了如下因素：

1. 35 千伏部份因空气间隙较小应留有较大裕度，推荐值较计算值增加 4~5 厘米，如果  $A_{\Phi-3}$  和  $A_{\Phi-\Phi}$  合并则推荐采用  $A_{\Phi-\Phi}$  数值。

2. 60 千伏部份根据计算和参照世界各国情况，推荐数值和我国现行规程相比略大。

3. 110~220 千伏部份基本忠实于计算数据。其结果和苏联火电设计院推荐值完全一致。